

О ПОЛЯРИЗАЦИИ СВЕТА СУМЕРЕЧНОГО НЕБА

Т. Г. МЕГРЕЛИШВИЛИ

В одной из ранних работ [1], касаясь вопроса расхождения сумеречных данных с ракетными данными, мы указывали на ряд возможных причин, обуславливающих это различие, и среди них — на присутствие в атмосфере Земли аэрозольных частиц, меняющих рассеивающую способность отдельных слоев земной атмосферы. На присутствие в атмосфере аэрозольного слоя указывала, основываясь на сумеречных наблюдениях, Н. М. Штауде, которая считала, что крупные частицы — преимущественно метеорного происхождения [2]. Атмосфера Земли, содержащая, кроме механической смеси газов, аэрозоли разной величины, претерпевает пульсацию, поднимается или опускается с изменением температуры, меняется в связи с турбулентными или конвекционными потоками и приходит к слоистому, неоднородному строению. При неоднородном строении атмосферы ее оптические свойства на разных высотах бывают различные. Оптические неоднородности атмосферы, как на это не раз указывалось в литературе [3, 4], целесообразно исследовать при помощи поляризационных наблюдений сумеречного света.

С 1946 по 1952 г. в Абастуманской обсерватории проводились электрополяриметрические наблюдения сумеречного неба в желтых лучах в зените. Цель данной статьи — изложить часть фактического материала, полученного за этот период, указать на те результаты, которые вытекают непосредственно из наблюдений, и высказать некоторые предположения, которые, впрочем, отчасти упоминались до нас и другими авторами [5, 6, 7, 8, 9]. Следует отметить, что исследование сумеречных кривых зависимости $\log I$ от z_{\odot} показало, что они претерпевают сильные изменения от дня ко дню, которые отчасти могут быть вызваны присутствием в атмосфере аэрозолей, так как содержание последних наиболее изменчиво как в количественном, так и в качественном отношении.

При поляризованном рассеянном свете в сумерках степень поляризации, кроме зависимости от положения Солнца, зависит также и от физического состояния атмосферы, от рассеивающей способности атмосферы.

На рис. 1, 2, 3, 4 и в таблице 1 приведены среднемесячные и среднесезонные значения степени поляризации в зависимости от зенитного расстояния Солнца для 1948, 1949, 1950, 1951 гг. Рассмотрение кривых показывает, что почти всегда наблюдается минимум степени поляризации, указывающий, по-видимому, на наличие на соответствующих высотах слоя, состоящего из более крупных частиц, чем молекулы, т. е.

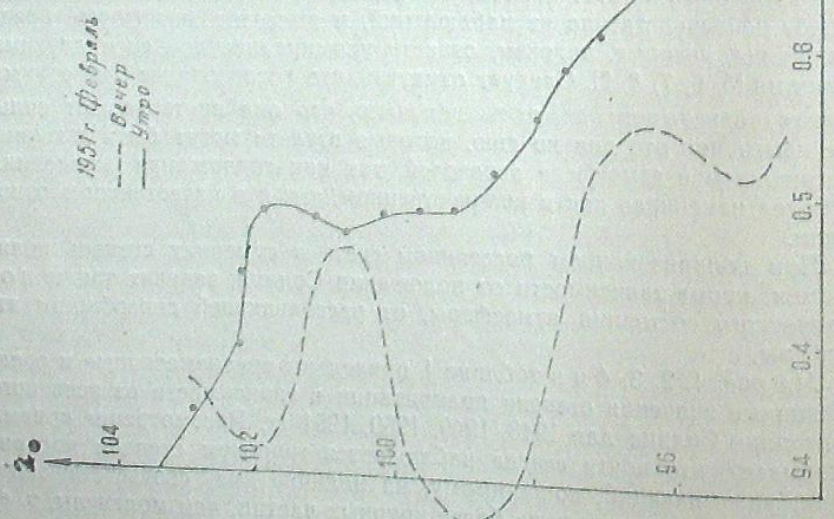


Рис. 1.

1951 г. Февраль
— Вечер
— Утро

Рис. 2.

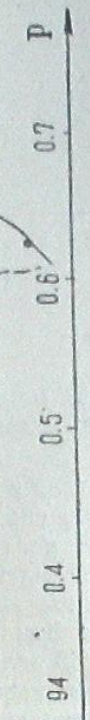


Рис. 2.

1951 г. Март.
— Вечер
— Утро

аэрозольного слоя [10, 11, 12, 13]. В литературе указывалось, что низкая прозрачность сильно снижает степень поляризации [4]. По этому поводу приведем рис. 5, на котором представлен, с одной стороны, сезонный ход изменения степени поляризации по среднемесячным дан-

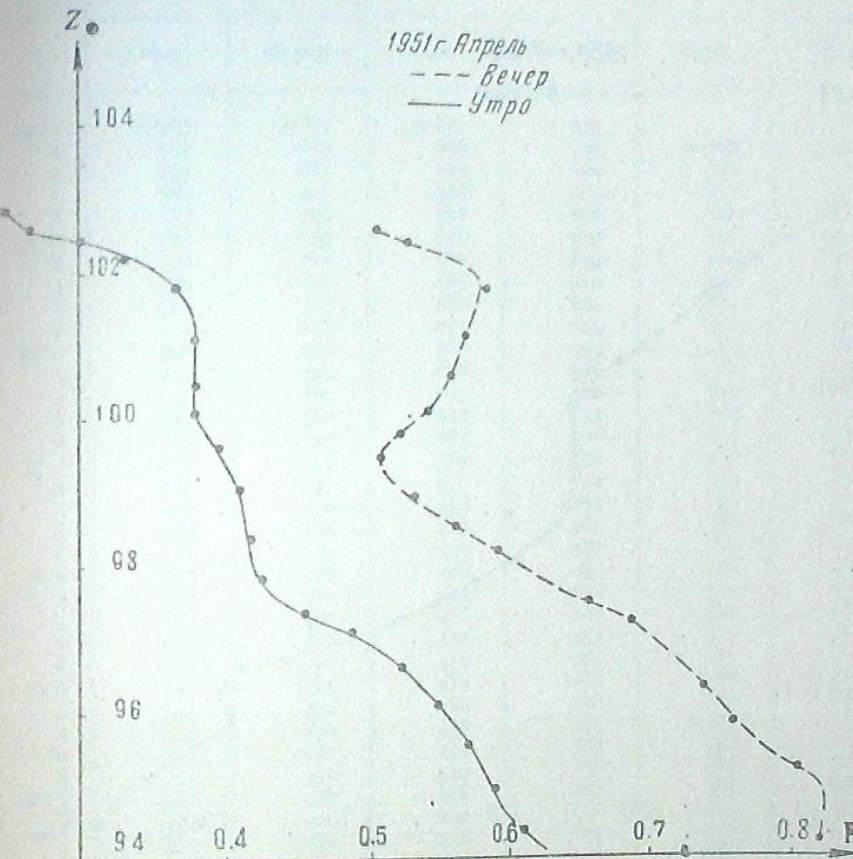


Рис. 3.

1951 г. Апрель
— Вечер
— Утро
— Ночь

йым, а с другой — среднемесячные значения прозрачности по актинометрическим наблюдениям. Ход этих кривых разный, хотя минимум прозрачности в июле и августе соответствует уменьшению степени поляризации. Зависимость от прозрачности атмосферы выявляется при рассмотрении отдельных наблюдений; при низкой прозрачности кривая сдвигается параллельно самой себе в сторону меньших значений степени поляризации. Но в ходе самой сезонной кривой степени поляризации не было замечено изменений, связанных с вариациями прозрачности.

Деполяризация (т. е. минимум поляризации) может быть вызвана также вторичным рассеянием. Однако действие вторичного рассеяния монотонно уменьшается с высотой, поэтому наличие экстремумов на кривых степени поляризации вторичным рассеянием объяснено быть не может.

Ход степени поляризации до $Z_\infty = 96^\circ$ мало меняется и значение ее, на основании теоретических соображений, никогда не бывает 100%.

Начиная примерно с $z_{\odot} = 98^\circ$ степень поляризации быстро уменьшается, наблюдается явно выраженный минимум около $z_{\odot} = 98^\circ, 5$ — 100° , а затем снова наблюдается быстрое уменьшение примерно с та-

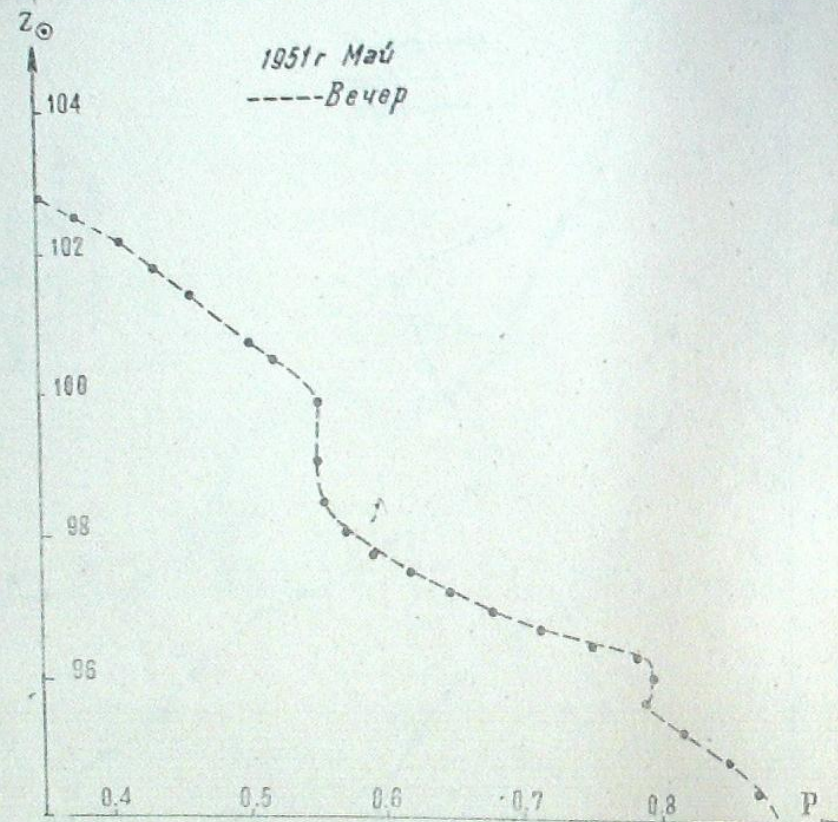


Рис.4.

кой же скоростью, что и до $z_{\odot} = 98^\circ$. Небезынтересно учесть влияние ночной составляющей степени поляризации. Возможно, что кривая степени поляризации искажается после 101° влиянием свечения ночного неба. В связи с учетом фона ночного неба следует отметить изменение показателя цвета с зенитным расстоянием ($I_{3790} - I_{5270}$). Учет фона ночного неба показывает, что наблюдавшееся после $99^\circ - 100^\circ$ покраснение вызвано влиянием свечения ночного неба (см. рис. 6), на котором черные точки — изменение показателя цвета без учета фона ночного неба, кружки — с учетом фона.

Нам кажется, что существующий на определенной высоте пылевой слой можно обнаружить также по изменению показателя цвета. В случае наличия пылевого слоя на кривой показателя цвета должен наблюдаться минимум. В этом отношении интересно рассмотреть рис. 7, на котором видно, что на кривых показателя цвета очень часто наблюдается минимум около $z_{\odot} = 97^\circ$, причем иногда минимум смещается в сторону увеличения z_{\odot} .

Таблица 1

	1	9	4	8	Г о д	
	Весна		Л е т о		Осень	
	Утро	Вечер	Утро	Вечер	Утро	Вечер
94.0	0.783	0.670	0.695	0.635	0.760	0.735
2	784	675	692	632	725	725
4	779	685	695	604	740	714
6	780	695	700	602	730	709
8	778	700	696	628	720	718
95.0	777	700	690	617	720	718
2	774	705	689	614	720	716
4	770	705	686	670	720	694
6	764	710	680	604	715	691
8	753	675	673	600	710	688
96.0	736	650	667	589	710	680
2	722	625	650	576	710	671
4	703	600	635	560	700	664
6	684	580	619	542	628	654
8	664	570	667	528	615	644
97.0	646	555	589	514	591	635
2	629	545	570	504	590	628
4	609	530	555	482	590	615
6	597	525	528	482	588	605
8	590	515	510	470	578	573
98.0	579	510	506	452	565	579
2	572	500	494	450	554	572
4	567	490	487	440	535	568
6	558	470	482	434	537	565
8	548	450	478	424	522	562
99.0	540	435	472	414	509	550
2	544	425	468	412	500	542
4	522	420	458	404	491	538
6	515	420	452	408	490	532
8	504	415	454	404	485	529
100.0	480	410	457	417	492	526
2	488	400	459	411	495	530
4	483	390	456	404	494	533
6	477	385	451	402	485	533
8	467	380	444	403	471	530
100.1	461	380	433	402	465	518
2	457	380	430	355	459	506
4	455		424	344	448	502
6	454		419	334	436	498
8	455		416	318	412	504
102.0	468		425	292	396	502
2	450		406	340	389	472
4	420		431		368	438
6	365		418		382	426
8	355		413		365	390
103.0	340		370		350	310
2	310		355		335	290
4	280				315	270
6					260	
8					215	
104.0					180	
2					160	
4					145	

(Продолжение)

1 9 4 9 г о д

	Весна		Лето		Осень	
	Утро	Вечер	Утро	Вечер	Утро	Вечер
94 0	0.815	0.652			0.570	0.885
2	815	655			681	850
4	810	665			689	835
6	805	674			689	745
8	798	681			638	664
95 0	798	692			671	672
2	798	692			670	689
4	792	695			672	681
6	785	675			675	675
8	772	671	0.710		681	667
96 0	760	660	710		670	663
2	730	638	710		666	652
4	705	612	720		639	640
6	695	594	720		619	632
8	625	582	695		617	605
97 0	620	572	688		598	579
2	532	566	642		583	558
4	538	509	632		572	563
6	515	542	614		559	562
8	498	542	604		547	554
98 0	482	515	589		537	548
2	472	496	575		522	509
4	466	472	560		511	536
6	452	463	540		500	528
8	445	457	528		492	523
99 0	440	462	512		494	524
2	435	454	520		496	527
4	439	445	525		500	535
6	435	430	525		503	542
8	425	407	522		504	544
100 0	402	408	519		507	543
2	392	408	511		507	540
4	390	410	496		508	487
6	382	352	482		533	482
8	390	266	474		504	517
101 0	390	304	462		492	480
2	385	332	464		485	474
4	382	356	474		479	453
6	378	371	480		473	453
8	328	362	470		466	455
102 0	325	401	450		465	490
2	320	395	425		453	431
4	360	388	399		453	404
6	398	303	370		451	377
8	315	290	355		346	356
103 0	270		341		433	342
2	248		328		408	377
4	295		295		370	332
6	295		272		322	282
8	290		238		315	289
104 0	303		222		273	310
2	308		285		285	290

(Продолжение)

1 9 5 0 г о д

	Весна		Лето		Осень		Зима	
	Утро	Вечер	Утро	Вечер	Утро	Вечер	Утро	Вечер
94 0			0.716	0.705	0.640	0.761	0.650	
2			716	708	635	735	655	
4			721	732	630	727	717	
6			728	806	635	714	702	
8			798	682	707	0.840	677	
95 0			704	758	665	704	650	
2			677	786	656	820	638	
4			672	688	653	692	805	
6			662	681	778	595	623	
8			643	675	643	592	778	
96 0			603	660	640	782	620	
2			553	632	539	765	610	
4			403	603	525	586	755	
6			403	583	616	580	582	
8			470	588	603	568	561	
97 0			472	582	584	555	574	
2			468	572	561	547	535	
4			452	541	541	515	461	
6			448	538	626	488	505	
8			438	520	618	488	495	
98 0			442	517	606	484	451	
2			447	494	590	486	452	
4			438	504	582	480	450	
6			432	498	583	476	448	
8			433	502	578	446	450	
99 0			448	497	581	482	558	
2			457	499	582	493	443	
4			447	495	578	497	555	
6			425	494	560	505	452	
8			410	490	564	501	456	
100 0			448	490	577	502	458	
2			383	485	595	479	460	
4			382	489	604	463	550	
6			377	485	620	492	451	
8			377	478	635	433	444	
101 0			383	447	666	425	434	
2			387	416	692	420	528	
4			382	380	670	400	362	
6			373	339	617	397	482	
8			358	325	571	385	325	
102 0			383	299	512	370	470	
2			387	270	493	350	320	
4			382	266	472	325	445	
6			373	257	433	299	415	
8			348	252	430	285	258	
103 0			355	242	397	256	390	
2			355	210	221	290	205	
4			340	205	290	240	185	
6			285	199	199	160		
8				199		140		

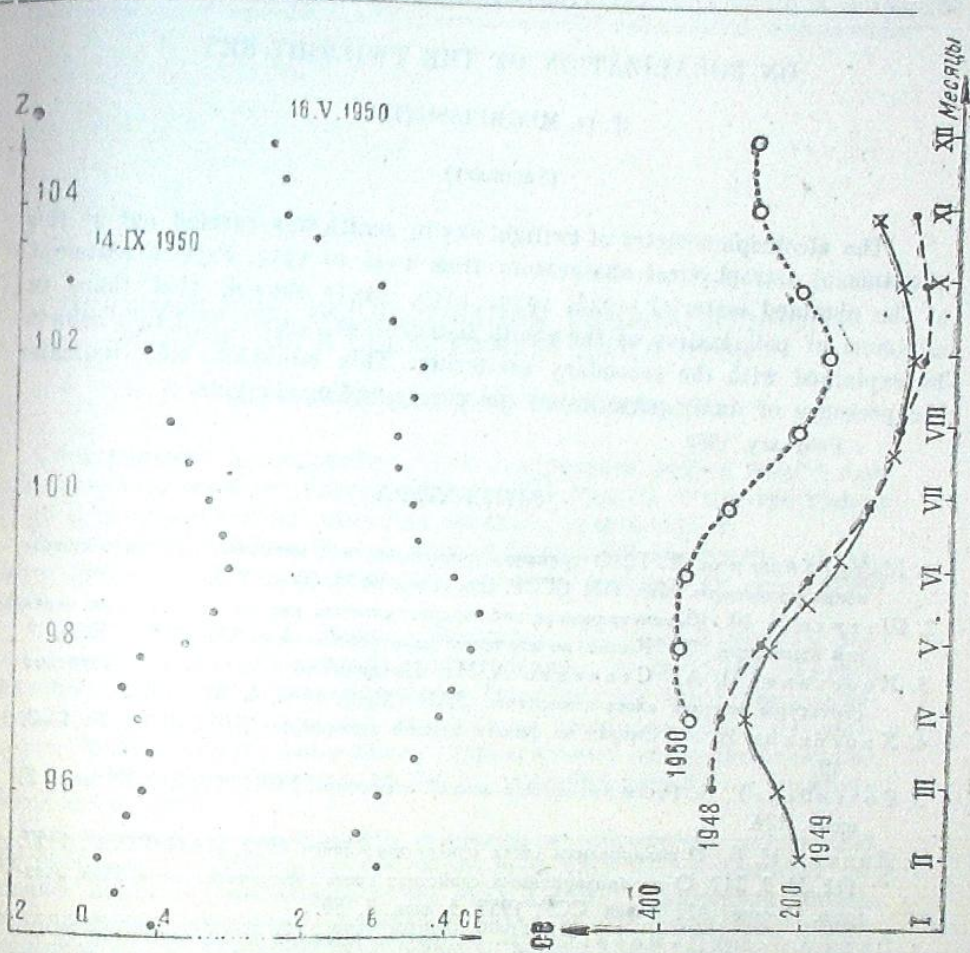
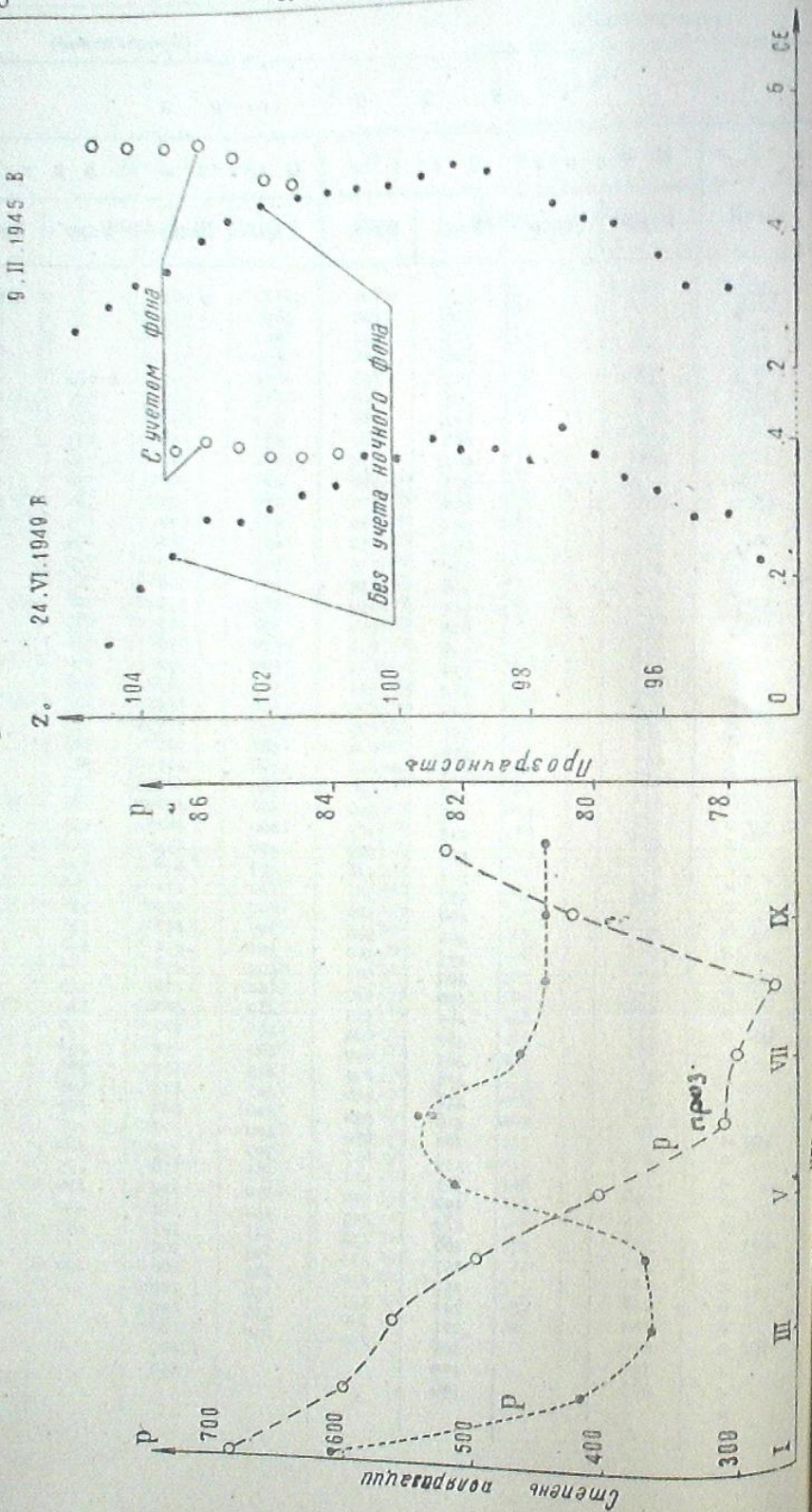


Рис. 7

Рис. 8

В литературе неоднократно указывалось, что наблюдавшееся в сумерках изменение показателя цвета может быть вызвано поглощением лучей в слое озона. В пользу этого соображения говорит тот факт, что сезонный ход показателя цвета имеет тот же вид, что и сезонный ход общего содержания озона (рис. 8) [14, 15].

Февраль, 1962.

ON POLARIZATION OF THE TWILIGHT SKY

T. G. MEGRELIASHVILI

(Summary)

The electrophotometry of twilight sky in zenith was carried out at the Abastumani astrophysical observatory from 1946 to 1954. Partial treatment of the obtained material (1948, 1949, 1950, 1951) showed that there is minimum of polarization at the zenith distances 98, 99, 100 and this cannot be explained with the secondary scattering. This minimum may indicate the presence of dusty particles at the corresponding heights.

February, 1962.

ЛИТЕРАТУРА

1. Мегрелишвили Т. Г., О границах применимости сумеречного метода исследования атмосферы. Изв. АН СССР, сер. геоф., 1958, № 8, 977.
2. Штауде Н. М., Фотометрические наблюдения сумерек как метод изучения верхней атмосферы. Тр. Комис. по изучению стратосферы при АН СССР, 1936, 1.
3. Хвостиков И. А., Севченко А. Н., Поляриметрический метод изучения структуры верхних слоев атмосферы. ДАН СССР, 1936, 4, № 8, 112.
4. Хвостиков И. А., Очерки по физике земной атмосферы. УФН, 1938, № 1—2, 19.
5. Розенберг Г. В., Рассеяние света в земной атмосфере. УФН, 1960, XXI, вып. 2, июнь, 174.
6. Дивари Н. Б., О поляризации света сумеречного неба, 1957, ДАН СССР, 1957, 112, № 2, 217; О поляризационных свойствах света сумеречного неба. Изв. Астрон. Института Казах. ССР, 1957, 5, вып. 7, 89.
7. Dave J. V. and Ramapath K. R., On the intensity and polarisation of the light from the sky during twilight. Proc. Indian Acad. Sci., 1956, A 43, № 2, 67—78.
8. Стамов Д. Г., Поляризация неба и мутность атмосферы. Автореф. дисс. канд. физ.-мат. и., 1953, Морской гидрофиз. ин-т АН СССР.
9. Стамов Д. Г., Исследование поляризации небесного света в зените при малых высотах Солнца как метод зондирования земной атмосферы. Изв. АН СССР, 1956, № 4, 145.
10. Линк Ф., Атмосферная пыль в земной атмосфере. Бюлл. астрон. институтов Чехословакии, 1953, № 6, 158.
11. Швестка Зл., Проблема слоя метеорной пыли в земной атмосфере. Бюлл. астрон. ин-тов Чехословакии, 1954, № 5, 92.
12. Vacouleurs G., Observations des discontinuités crépusculaires, C. R. Acad. Sci., 1951, 232, № 4, 342.
13. Bigg E. K., Detection of atmospheric dust and temperature inversions by twilight scattering. Nature, 1956, № 4498, 77.
14. Дивари Н. Б., Об изменении цвета сумеречного неба. ДАН СССР, 1958, 122, № 5, 795.
15. Hulbert O. E., Explanation of the brightness and color of the Sky, particularly the twilight. J. Opt. Soc. Am., 1953, 43, № 2, 113.

СПЕКТРАЛЬНЫЕ ИССЛЕДОВАНИЯ ГИДРОКСИЛЬНОГО ИЗЛУЧЕНИЯ В СВЕТЕ СУМЕРЕЧНОГО НЕБА

Т. Г. МЕГРЕЛИШВИЛИ, Т. И. ТОРОШЕЛИДЗЕ

Спектральные исследования света сумеречного неба в Абастуманской обсерватории были начаты в конце 1957 года [1] со спектрометром СП-48 в направлении на север при зенитном расстоянии 67°.

Цель настоящей статьи сообщить фактический материал, касающийся наблюдений гидроксильного излучения в сумерках летом 1960 года.

В работах Митры [2], Эльви и Фарнсфорта [3], Чемберлейна [4], Робле [5] встречаются указания на существование в спектрах сумерек отдельных линий гидроксильных полос. Поэтому нам представилось целесообразным исследовать этот вопрос и на нашем большом материале, тем более, что отдельные линии гидроксильных полос, появляющиеся на наших спектрограммах, не были замечены раньше в спектрах сумеречного света.

Полученные нами результаты основаны на обработке около 200 спектрограмм. На спектрах сумеречного неба нами были замечены отдельные линии гидроксильных полос (6,1) и (9,3). Применение более чувствительной фотопленки позволило получить большинство линий указанных полос (таблица 1) в период максимума гидроксильного свечения (ноябрь, декабрь, январь).

Эти полосы получаются в спектре сумеречного неба главным образом при угле погружения Солнца 8.8°—16°, а также, часто, отдельные линии этих полос получаются при угле погружения Солнца 7°—9°. На рис. 1 дается спектр сумеречного неба для углов солнечного погружения 9°—16° и соответствующая микроспектрограмма с отдельными линиями полос (6,1) и (9,3).

Для получения сезонного хода интенсивности гидроксильных полос в спектре сумерек использовалась линия λ6330A Р₃ полосы (9,3), которая на спектрограммах почти всегда получается при угле погружения Солнца 9°—16°. Сезонный ход интенсивности указанной линии за период с июля 1960 по июль 1961 гг. дан на рис. 2. Наблюдаются сезонный ход с максимумом в ноябре-январе и небольшим вторичным максимумом в июне-июле.

В период максимального свечения гидроксильного излучения, когда на сумеречных спектрах появилось большинство линий указанных полос, имелась возможность определить отношение полных интенсивностей этих двух полос (9,3) и (6,1), за период ноября-январь. Величина этого отношения меняется от 0,51 до 1,00, при среднем значении 0,77.